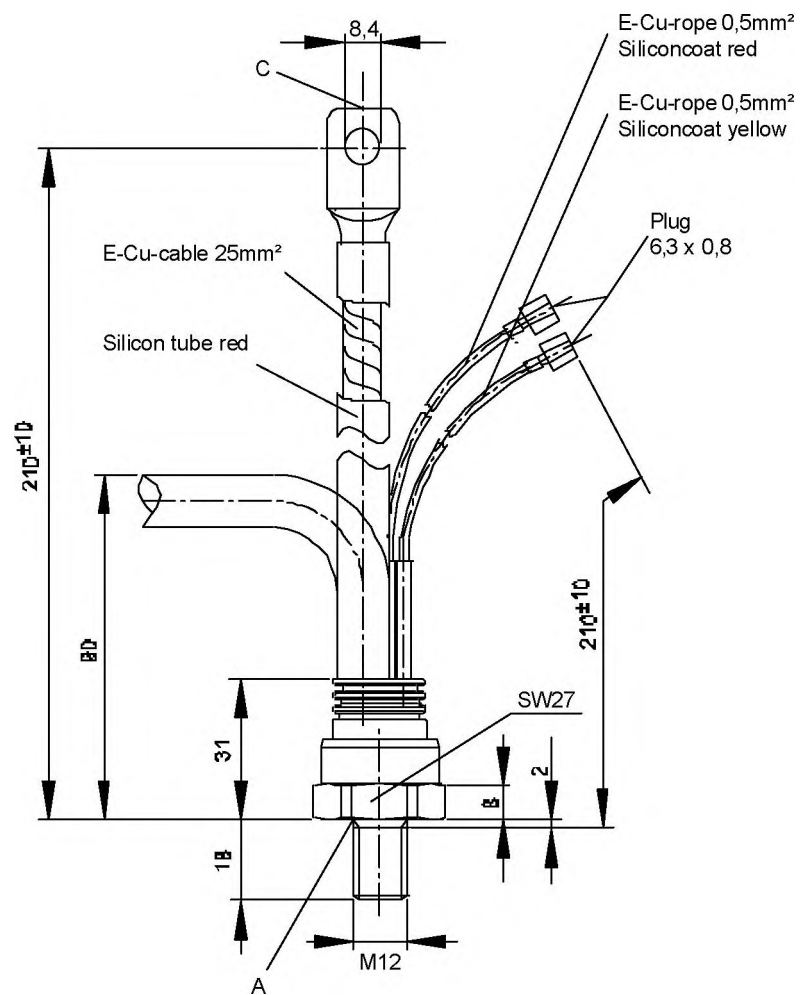




European Power-
Semiconductor and
Electronic Company

Marketing Information T 86 N



T 86 N

Elektrische Eigenschaften

Höchstzulässige Werte

Periodische Vorwärts- und Rückwärts-Spitzenperrspannung

Vorwärts-Stoßspitzenperrspannung

Rückwärts-Stoßspitzenperrspannung

Durchlaßstrom-Grenzeffektivwert

Dauergrenzstrom

Stoßstrom-Grenzwert

Grenzlastintegral

Kritische Stromsteilheit

Kritische Spannungssteilheit

Electrical properties

Maximum rated values

repetitive peak forward off-state and reverse voltages

$$t_{vj} = -40^\circ\text{C} \dots t_{vj\max}$$

V_{DRM}, V_{RRM}

600 800 1000 1200

1400 1600 1800*

V

non-repetitive peak forward off-state voltage

$$t_{vj} = -40^\circ\text{C} \dots t_{vj\max}$$

$V_{DSM} = V_{DRM}$

600 800 1000 1200

1400 1600 1800*

V

non-repetitive peak reverse voltage

$$t_{vj} = +25^\circ\text{C} \dots t_{vj\max}$$

$V_{RSM} = V_{RRM}$

700 900 1100 1300

1500 1700 1900

V

Durchlaßstrom-Grenzeffektivwert

RMS on-state current

I_{TRMSM}

200

A

Dauergrenzstrom

average on-state current

I_{TAVM}

86

A

t_c = 85°C

t_c = 56°C

127

A

surge current

$$t_{vj} = 25^\circ\text{C}, t_p = 10 \text{ ms}$$

I_{TSM}

2300

A

$$t_{vj} = t_{vj\max}, t_p = 10 \text{ ms}$$

2000

A

$I^2 t$ -value

$$t_{vj} = 25^\circ\text{C}, t_p = 10 \text{ ms}$$

$I^2 t$

26500

A²s

$$t_{vj} = t_{vj\max}, t_p = 10 \text{ ms}$$

20000

A²s

v_D ≤ 67%, i_{DRM} , f = 50 Hz

$(di_T/dt)_{cr}$

150

A/μs

v_L=8 V, i_{GM} = 0,6 A, di_G/dt = 0,6 A/μs

t_{vj} = t_{vj} max, v_D = 67% V_{DRM}

$(dv/dt)_{cr}$

1000

V/μs

Charakteristische Werte

Durchlaßspannung

Characteristic values

on-state voltage

$$t_{vj} = t_{vj\max}, I_T = 400 \text{ A}$$

v_T

max. 1,99

V

Schleusenspannung

threshold voltage

$V_{T(TO)}$

1

V

Ersatzwiderstand

slope resistance

$$t_{vj} = t_{vj\max}$$

I_T

2,6

mΩ

Zündstrom

gate trigger current

$$t_{vj} = 25^\circ\text{C}, V_D = 6 \text{ V}$$

I_{GT}

max. 150

mA

Zündspannung

gate trigger voltage

$$t_{vj} = 25^\circ\text{C}, V_D = 6 \text{ V}$$

V_{GT}

max. 1,4

V

Nicht zündender Steuerstrom

gate non-trigger current

$$t_{vj} = t_{vj\max}, V_D = 6 \text{ V}$$

I_{GD}

max. 5

mA

Nicht zündende Steuerspannung

gate non-trigger voltage

$$t_{vj} = t_{vj\max}, V_D = 0,5 V_{DRM}$$

V_{GD}

max. 0,2

V

Haltestrom

holding current

$$t_{vj} = 25^\circ\text{C}, V_D = 6 \text{ V}, R_A = 5 \Omega$$

I_H

max. 200

mA

Einraststrom

latching current

$$t_{vj} = 25^\circ\text{C}, V_D = 6 \text{ V}, R_{GR} \geq 10 \Omega$$

I_L

max. 620

mA

Vorwärts- und Rückwärts-Sperrstrom

forward off-state and reverse currents

$$t_{vj} = t_{vj\max}, V_D = V_{DRM}, V_R = V_{RRM}$$

i_D, i_R

max. 25

mA

Zündverzug

gate controlled delay time

$$t_{vj} = 25^\circ\text{C}, i_{GM} = 0,6 \text{ A}, di_G/dt = 0,6 \text{ A}/\mu\text{s}$$

t_{gd}

max. 3

μs

Freiwerdezeit

circuit commutated turn-off time

siehe Techn. Erl./see Techn. Inf.

t_q

typ. 200

μs

Thermische Eigenschaften

Innerer Wärmewiderstand

Thermal properties

thermal resistance, junction to case

$$\Theta = 180^\circ \text{ el, sin}$$

R_{THJC}

max. 0,3

°C/W

Höchstzul. Sperrsichttemperatur

max. junction temperature

$$DC$$

max. 0,28

°C/W

Betriebstemperatur

operating temperature

$$t_{vj\max}$$

125

°C

Lagertemperatur

storage temperature

$$t_{c\ op}$$

-40...+125

°C

$$t_{slg}$$

-40...+130

°C

Mechanische Eigenschaften

Mechanical properties

Si-Elemente mit Druckkontakt

Si-pellet with pressure contact

$$\Theta = 180^\circ \text{ el, sin}$$

M

20

Nm

Anzugsdrehmoment

tightening torque

$$DC$$

G

typ. 180

g

Gewicht, Bauform E

weight, case design E

$$t_{c\ op}$$

8

mm

Kriechstrecke

creepage distance

$$t_{slg}$$

C

Feuchtekategorie

humidity classification

$$DIN 40040$$

50

m/s²

Schwingfestigkeit

vibration resistance

$$f = 50 \text{ Hz}$$

Maßbild, anliegend

outline, attached

$$DIN 41 892-204B3$$

* Für größere Stückzahlen Liefertermin erfragen / Delivery for larger quantities on request

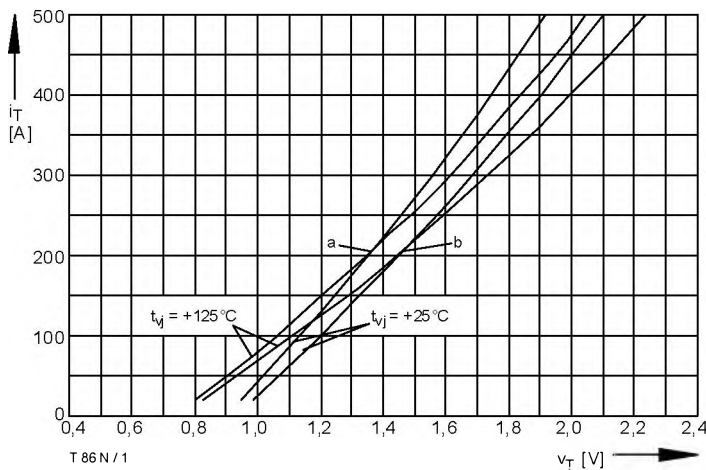


Bild / Fig. 1

Durchlaßkennlinie / On-state characteristic $i_T = f(v_T)$
 a - Typische Kennlinien / typical characteristics
 b - Grenzkennlinien / limiting characteristics

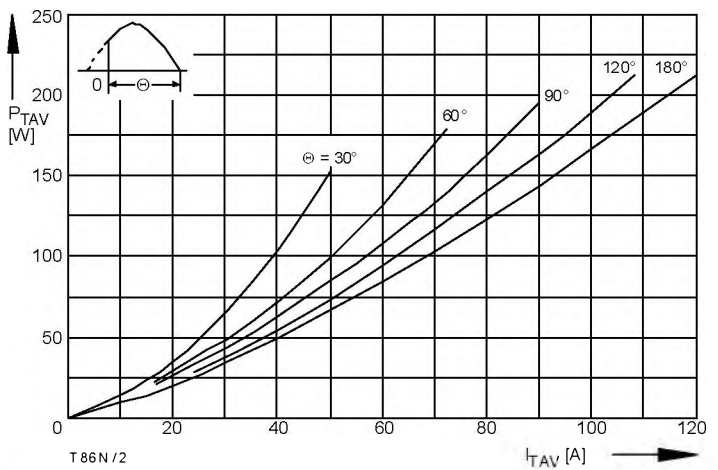


Bild / Fig. 2

Durchlaßverlustleistung / On-state power loss $P_{TAV} = f(I_{TAV})$
 Parameter Stromflußwinkel / Current conduction angle θ

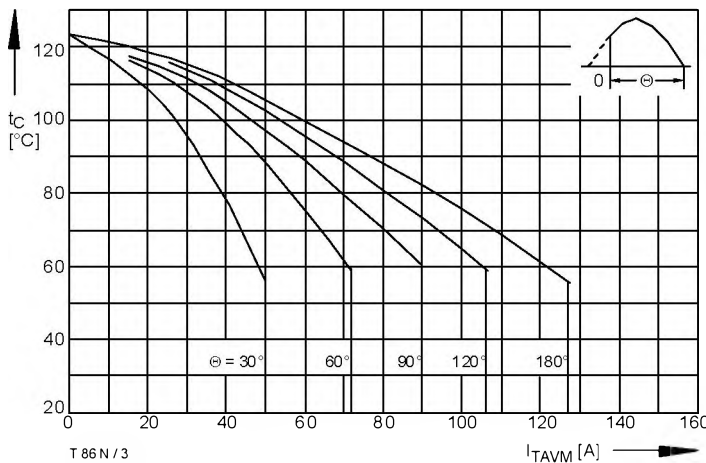


Bild / Fig. 3

Hochzulässige Gehäusetemperatur / Max. allowable case temperature
 $t_C = f(I_{TAVM})$
 Beidseitige Kühlung / Two-sided cooling
 Parameter Stromflußwinkel / Current conduction angle θ

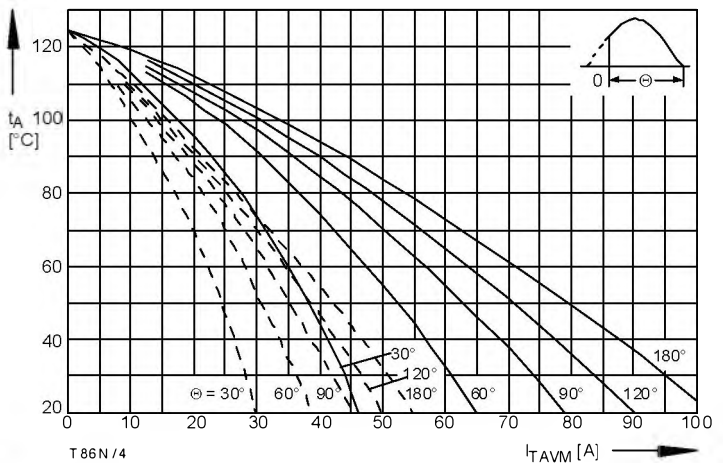


Bild / Fig. 4

Hochzulässige Kühlmitteltemperatur / Max. allowable cooling medium temperature $t_A = f(I_{TAVM})$
 Kühlkörper / Heatsink K11-M12A
 ----- Luftselbstkühlung / Natural air-cooling
 —— Verstärkte Luftkühlung / Forced air-cooling, $V_L = 30 \text{ l/s}$
 Parameter Stromflußwinkel / Current conduction angle θ

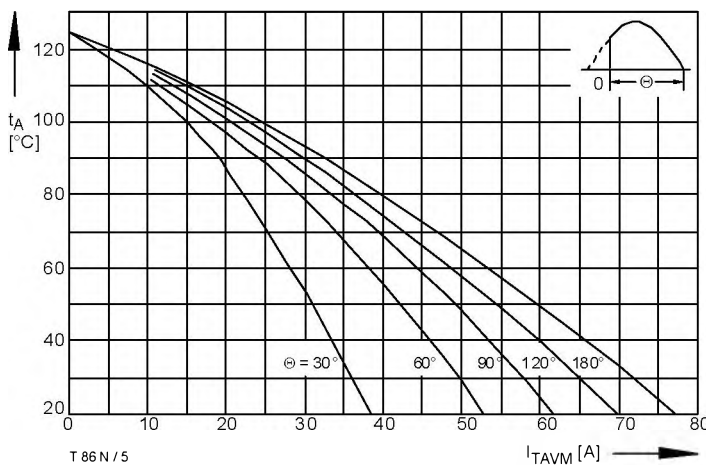


Bild / Fig. 5

Hochzulässige Kühlmitteltemperatur / Max. allowable cooling medium temperature $t_A = f(I_{TAVM})$
 Luftselbstkühlung / Natural air-cooling
 Kühlkörper / Heatsink K0.55-M12-A
 Parameter Stromflußwinkel / Current conduction angle θ

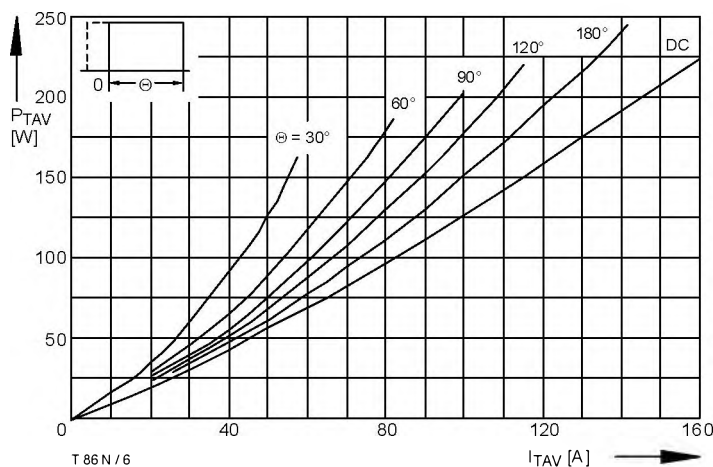


Bild / Fig. 6

Durchlaßverlustleistung / On-state power loss $P_{TAV} = f(I_{TAV})$
Parameter: Stromflußwinkel / Current conduction angle θ

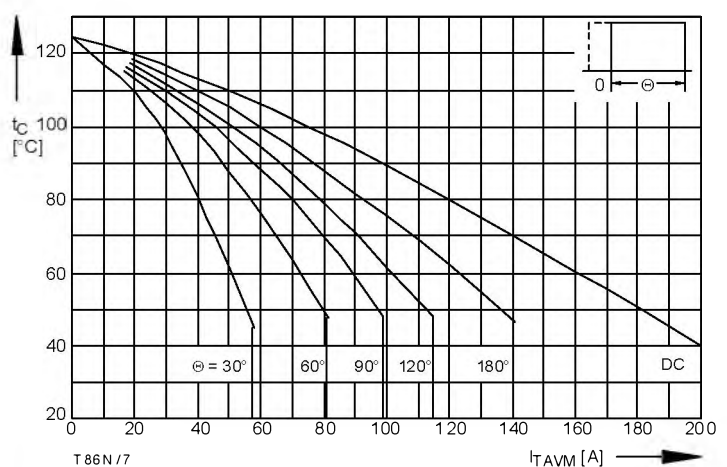


Bild / Fig. 7

Hochstzulässige Gehäusetemperatur / Max. allowable case temperature
 $t_C = f(I_{TAVM})$
Beidseitige Kühlung / Two-sided cooling
Parameter: Stromflußwinkel / Current conduction angle θ

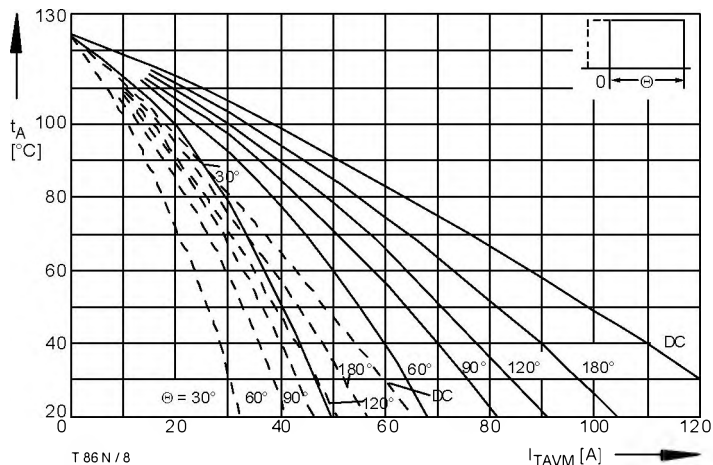


Bild / Fig. 8

Hochstzulässige Kühlmitteltemperatur / Max. allowable cooling medium temperature $t_A = f(I_{TAVM})$
Kuhlkörper / Heatsink K1.1-M12A
---- Luftselbstkühlung / Natural air-cooling
— Verstärkte Luftkühlung / Forced air-cooling, $V_L = 30$ l/s
Parameter: Stromflußwinkel / Current conduction angle θ

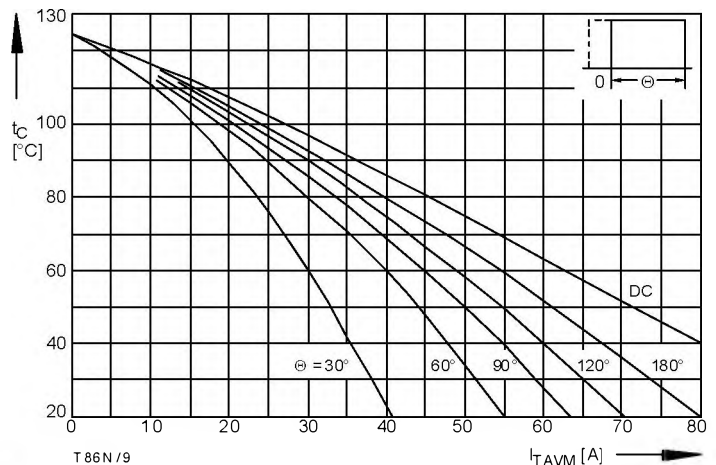


Bild / Fig. 9

Hochstzulässige Kühlmitteltemperatur / Max. allowable cooling medium temperature $t_A = f(I_{TAVM})$
Luftselbstkühlung / Natural air-cooling
Kuhlkörper / Heatsink K0.55-M12-A
Parameter: Stromflußwinkel / Current conduction angle θ

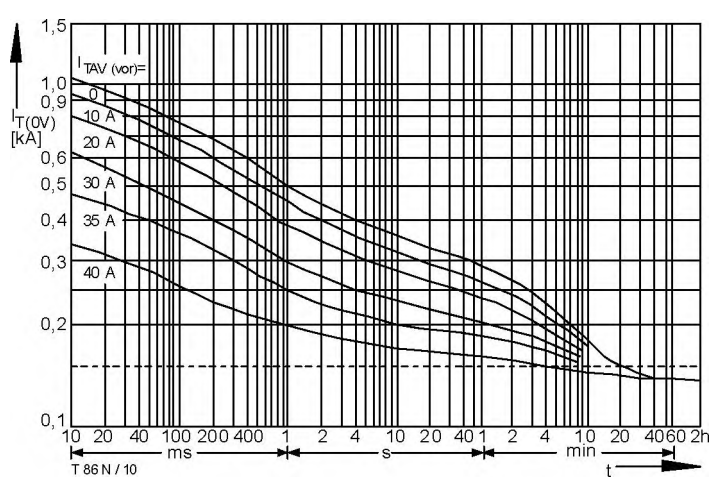


Bild / Fig. 10

Überstrom / Overload on-state current $I_{T(OV)} = f(t)$
Luftselbstkühlung / Natural air-cooling $t_A = 45^\circ\text{C}$
Kuhlkörper / Heatsink K1.1-M12-A
Parameter: Vorlaststrom / Pre-load current $I_{TAV(vor)}$

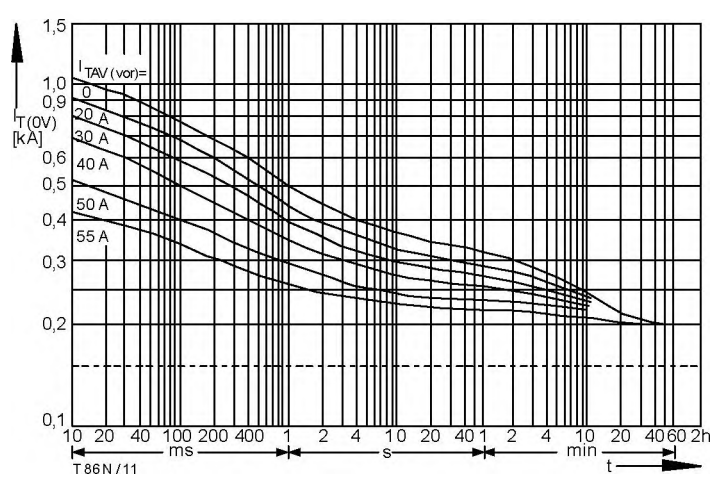


Bild / Fig. 11

Überstrom / Overload on-state current $I_{T(OV)} = f(t)$
Luftselbstkühlung / Natural air-cooling $t_A = 45^\circ\text{C}$
Kuhlkörper / Heatsink K0.55-M12-A
Parameter: Vorlaststrom / Pre-load current $I_{TAV(vor)}$

T 86 N

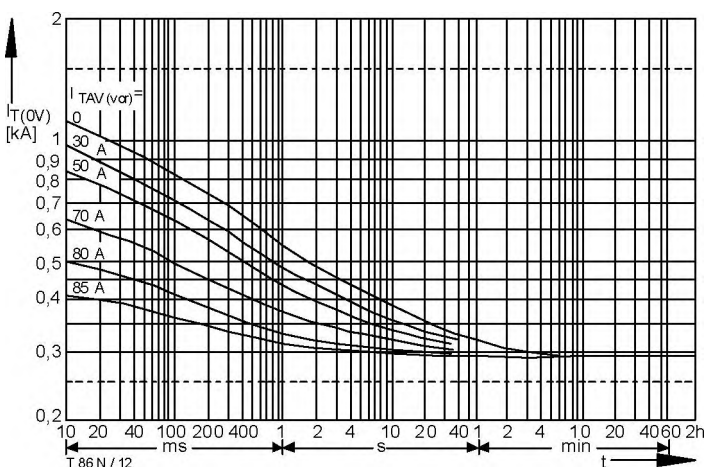


Bild / Fig. 12

Überstrom / Overload on-state current $I_{T(OV)} = f(t)$
Verstärkte Luftkühlung / Forced air-cooling, $t_A = 35^\circ\text{C}$
Kuhlkörper / Heatsink K1.1-M12-A, $V_L = 30 \text{ l/s}$
Parameter: Vorlaststrom / Pre-load current $I_{TAV(vor)}$

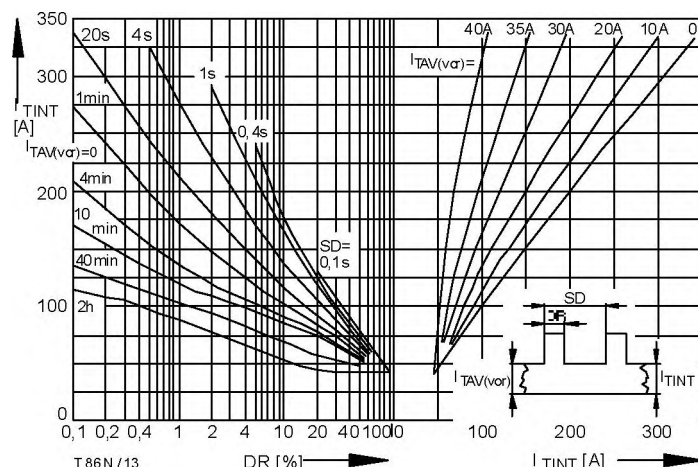


Bild / Fig. 13

Hochstzulässiger Durchlaßstrom bei Aussetzbetrieb / Max. allowable on-state current at intermittent operation $I_{TINT} = f(ED)$
Luftselbstkühlung / Natural air-cooling, $t_A = 45^\circ\text{C}$
Kuhlkörper / Heatsink K1.1-M12-A
Parameter: Spieldauer / Cycle duration SD
Vorlaststrom / Pre-load current $I_{TAV(vor)}$

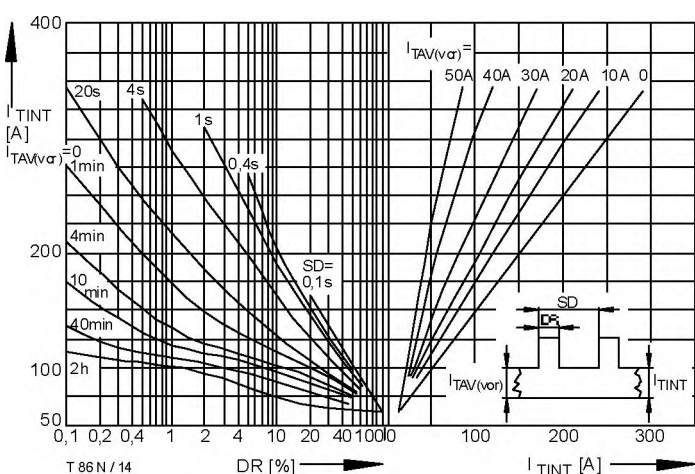


Bild / Fig. 14

Hochstzulässiger Durchlaßstrom bei Aussetzbetrieb / Max. allowable on-state current at intermittent operation $I_{TINT} = f(ED)$
Luftselbstkühlung / Natural air-cooling, $t_A = 45^\circ\text{C}$
Kuhlkörper / Heatsink K0 55-M12-A
Parameter: Spieldauer / Cycle duration SD
Vorlaststrom / Pre-load current $I_{TAV(vor)}$

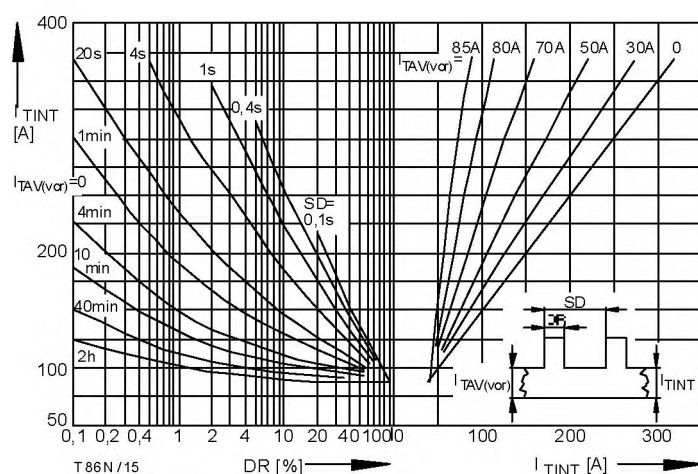


Bild / Fig. 15

Hochstzulässiger Durchlaßstrom bei Aussetzbetrieb / Max. allowable on-state current at intermittent operation $I_{TINT} = f(ED)$
Verstärkte Luftkühlung / Forced air-cooling, $t_A = 35^\circ\text{C}$
Kuhlkörper / Heatsink K1.1-M12-A, $V_L = 30 \text{ l/s}$
Parameter: Spieldauer / Cycle duration SD
Vorlaststrom / Pre-load current $I_{TAV(vor)}$

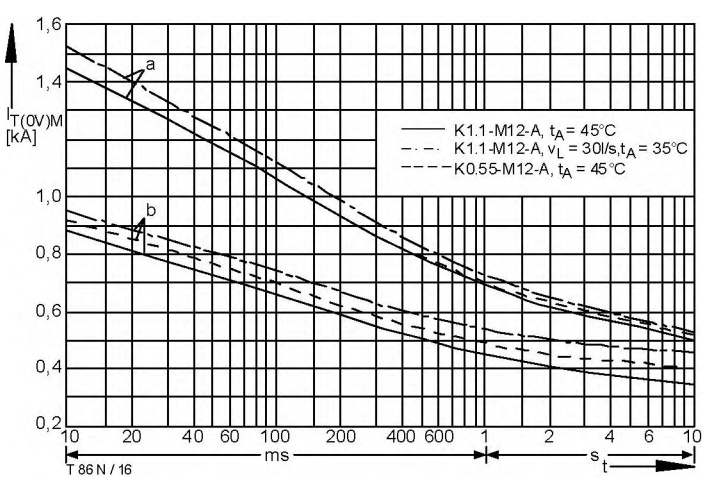


Bild / Fig. 16

Grenzstrom / Max. overload on-state current $I_{T(OV)M} = f(t)$, $V_{RM} = 0.8 \text{ VRMM}$
Luftselbstkühlung / Natural air-cooling, $t_A = 45^\circ\text{C}$
Verstärkte Luftkühlung / Forced air-cooling, $t_A = 35^\circ\text{C}, V_L = 30 \text{ l/s}$
Kuhlkörper / Heatsink K1.1-M12-A und K0 55-M12-A
Belastung aus / Surge current occurs
a - Leerlauf / No-load conditions
b - Betrieb mit Dauergrenzstrom / During operation at max. average on-state current I_{TAVM}

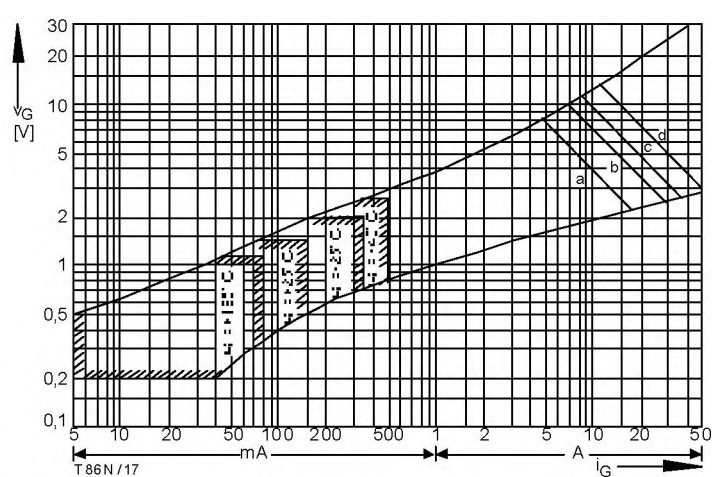


Bild / Fig. 17

Steuercharakteristik mit Zündbereichen / Gate characteristic with triggering areas $v_G = f(i_G)$, $V_D = 6 \text{ V}$
Parameter:
Steuerimpulsdauer / trigger pulse duration t_0 [ms] 10 1 0,5 0,1
Hochstzulässige Spitzensteuerleistung /
Max. rated peak gate power dissipation [W] 40 80 100 150

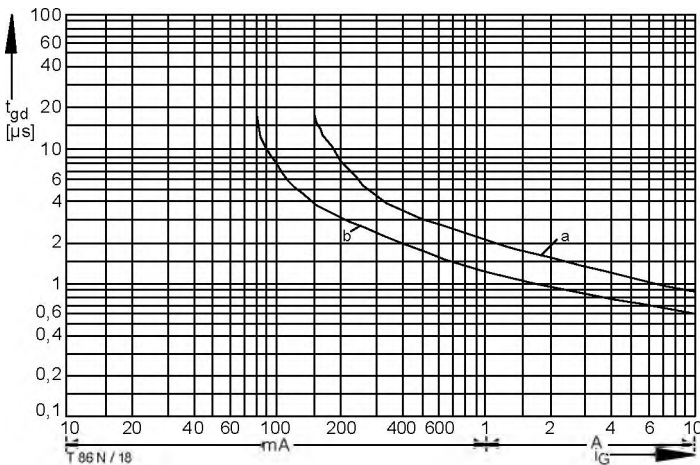


Bild / Fig. 18

Zündverzug / Gate controlled delay time $t_{gd} = f(i_G)$
 $t_{vj} = 25^\circ\text{C}$ $di_G/dt = i_{GM}/1\mu\text{s}$
a - Maximaler Verlauf / Limiting characteristic
b - Typischer Verlauf / Typical characteristic

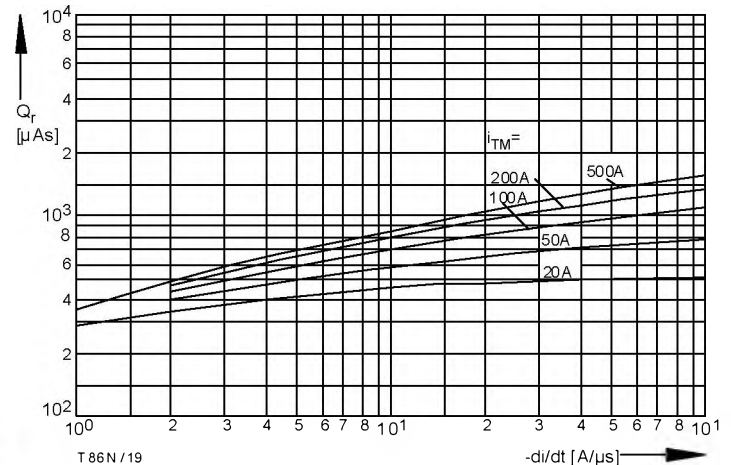


Bild / Fig. 19

Spererverzogerungsladung / Recovered charge $Q_r = f(di/dt)$
 $t_{vj} = i_{vj \max}$ $V_R = 0,5 \text{ V}_{RRM}$ $V_{RM} = 0,8 \text{ V}_{RRM}$
Parameter: Durchlaßstrom / On-state current i_{TM}

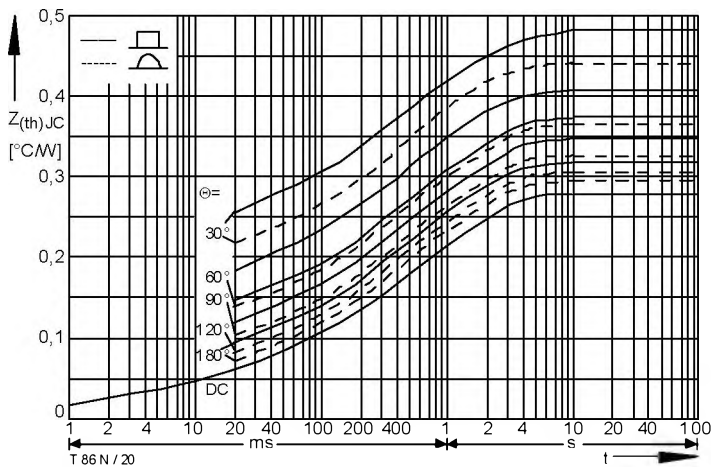


Bild / Fig. 20

Transienter innerer Wärmewiderstand / Transient thermal impedance
 $Z_{thJC} = f(t)$
Parameter Stromflußwinkel / current conduction angle θ

Analytische Elemente des transinten Wärmewiderstandes Z_{thJC} pro Zweig für DC
Analytical elements of transient thermal impedance Z_{thJC} per arm for DC

Pos. n	1	2	3	4	5	6	7
$R_{thn} [^\circ\text{C}/\text{W}]$	0,0233	0,0433	0,094	0,122			
$\tau_n [\text{s}]$	0,00137	0,0175	0,263	1,71			

Analytische Funktion / Analytical function:

$$Z_{thJC} = \sum_{n=1}^{n_{\max}} R_{thn} (1 - e^{-\frac{t}{\tau_n}})$$